

АКАДЕМИЯ НАУК СССР

ЭНЕРГЕТИКА
И ТРАНСПОРТ

Том 36

(ОТДЕЛЬНЫЙ ОТТИСК)

МОСКВА · 1990

УДК 621.316.35.056.001.24

© 1990 г.

ДОЛИН А. П.

ИССЛЕДОВАНИЕ СТОЙКОСТИ ЖЕСТКОЙ ОШИНОВКИ ПРИ ВЕТРОВЫХ НАГРУЗКАХ

Излагается методика расчета нагрузок на изоляторы и напряжений в материале шин при воздействии ветра как стационарного случайного процесса на линейную систему с одной степенью свободы. Получены формулы и построены кривые, удобные для инженерных расчетов. Проведен анализ динамического воздействия ветра на шинные конструкции распределительных устройств 110–220 кВ. Выполнен пример расчета.

В последние годы в открытых распределительных устройствах (ОРУ) напряжением 110 кВ и выше все шире используется жесткая трубчатая ошиновка. Внедрение жестких шин позволило сократить площадь и снизить профиль ОРУ, уменьшить расход металлоконструкций, повысить производительность труда при монтажных работах. В [1, 2 и др.] разработывалась методика расчета электродинамической и термической стойкости жесткой ошиновки. Вместе с тем в практике проектирования возникают трудности в оценке динамической стойкости ошиновки ОРУ при ветровых нагрузках. Так, в Правилах устройства электроустановок рассматривается методика расчета только гибкой ошиновки и не приводятся рекомендации по расчетам конструкций с жесткими шинами. Рекомендации СНиП [3] для этих целей использовать затруднительно, так как они разработаны для зданий и сооружений башенного типа и не учитывают особенности выполнения жесткой ошиновки ОРУ.

В настоящее время стойкость ошиновки при ветровых нагрузках рассчитывается приближенно на статическую нагрузку (без учета динамического характера ее воздействия), поэтому при оценке стойкости изоляторов и шин вводят достаточно большие коэффициенты запаса прочности. Для некоторых шинных конструкций такой подход дает удовлетворительные результаты. Вместе с тем он может приводить к неоправданному запасу или, наоборот, недопустимому снижению прочности ошиновки.

Ниже излагается методика расчета стойкости изоляторов и шин ОРУ на основе статистической (вероятностной) модели воздействия на жесткую ошиновку ветровых нагрузок. Результаты приводятся к удобному для инженерных расчетов виду. Поперечные колебания шин, обусловленные срывом вихрей и возникновением ветровых резонансов, здесь не учитываются.

Мгновенные значения скорости ветра V в приземном слое воздуха можно представить как сумму статической \bar{V} и динамической (пульсирующей) v составляющих:

$$V(t) = \bar{V} + v(t). \quad (1)$$

Пульсации вызваны торможением частиц воздуха о поверхность земли, конвекционными потоками между различно нагретыми слоями, трениями между слоями, движущимися с разной скоростью. Пульсации скорости носят нерегулярный характер. Вместе с тем в интервале времени, достаточно большом по сравнению с преобладающим периодом

пульсации, статистические свойства переменной составляющей скорости ветра v можно считать практически неизменными, что позволяет скорость ветра, а также ветровую нагрузку трактовать как стационарные случайные процессы [4-6]. Поскольку длина пролета шины относительно невелика (как правило, 8-15 м), скорость по фронту (в пределах пролета) можно принять одинаковой и, следовательно, ветровую нагрузку можно считать стационарной случайной функцией только одной переменной времени t .

Для описания характеристик стационарного случайного процесса удобно использовать спектральную плотность, называемую иногда также спектральной мощностью, спектральной плотностью энергии и др. Согласно теории изотропной турбулентности [7] спектральную функцию пульсаций скорости ветра $S_V(\omega)$ можно аппроксимировать по закону $\omega^{-5/2}$. Вместе с тем в области низких частот пульсаций $\omega \leq \omega_1 \approx 0,25$ рад/с спектральная плотность скорости ветра пропорциональна нулевой степени частоты [6]. В области высоких частот собственных колебаний $\omega \geq \omega_n$, равных 6,28-15,7, мощность пульсаций очень мала, кроме того, они «отфильтровываются» колебательной системой и поэтому в инженерных расчетах спектральную плотность $S_V(\omega)$ оправдано принять равной нулю. Таким образом, в соответствии с [5-7]

$$S_V(\omega) = C_1 (\epsilon \bar{V})^{2/3} \Phi(\omega), \quad (2)$$

где

$$\Phi(\omega) = \begin{cases} \omega_1^{-5/2} & \text{при } \omega \leq \omega_1; \\ \omega^{-5/2} & \text{при } \omega_1 \leq \omega \leq \omega_n; \\ 0 & \text{при } \omega > \omega_n; \end{cases}$$

C_1 — универсальная постоянная, равная для высоты до 10 м 0,4-0,5; ϵ — диссипация энергии, определяемая по формуле

$$\epsilon = \bar{V}^3 \kappa^2 / z [\ln(z/z_0)]^3; \quad (3)$$

здесь $\kappa = 0,4$ — постоянная Кармана; z — высота относительно земли, м; z_0 — параметр шероховатости, равный 0,05-0,2 м в зависимости от типа местности.

В качестве примера на рис. 1 приведена зависимость спектральной плотности ветра от частоты пульсаций при статической скорости $\bar{V} = 20$ м/с, $z = 10$ м, $z_0 = 0,05$ м.

Мерой отклонения от среднего значения случайной величины служат дисперсия, а также среднее квадратичное отклонение (или стандарт) равное корню квадратному из дисперсии. Дисперсия и спектральная плотность связаны зависимостью

$$D_V = \int_0^{\infty} S_V(\omega) d\omega, \quad (4)$$

где D_V — дисперсия скорости ветра, $\text{м}^2/\text{с}^2$.

Так как при $\omega > \omega_n$ спектральная плотность обращается в нуль, верхний предел интегрирования в уравнении (4) можно принять равным нулю. Нижний предел интегрирования ω_n устанавливаются равным граничной частоте динамической скорости ветра 0,01 рад/с. При периоде осреднения скорости ветра 600 с частоты ω , лежащие выше $\omega_n = 0,01$ рад/с, определяют динамическую составляющую, отвечающую стационарному случайному процессу [4, 5].

Нагрузка (Н/м) на цилиндрическую шину в потоке воздуха без учета реакции, связанной с ускорением составляет

$$q(t) = 0,5 \rho_a c_x d V(t) |V(t)|, \quad (5)$$

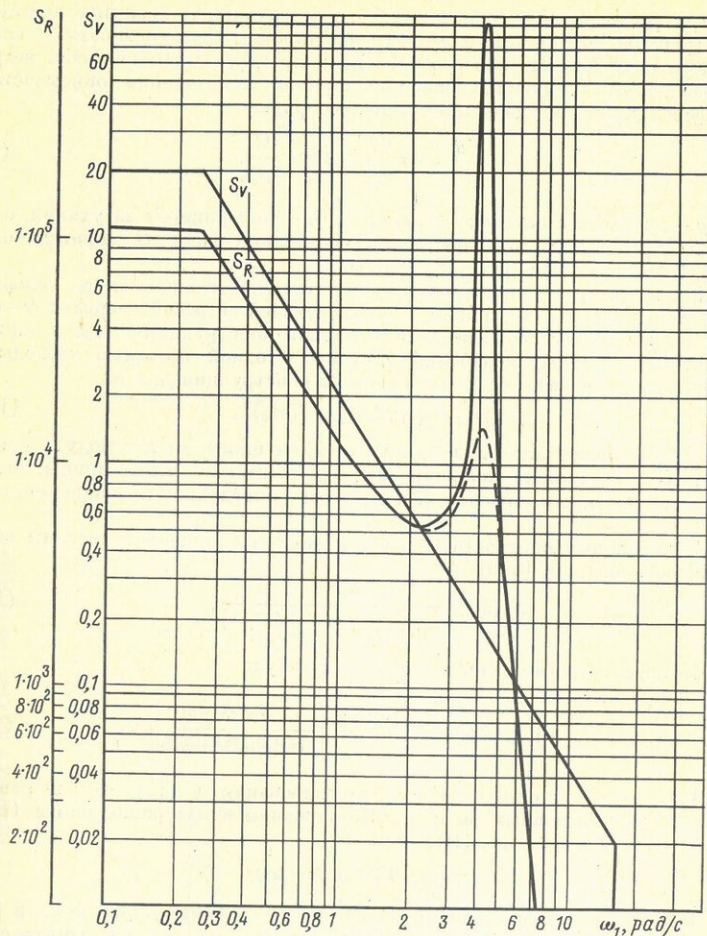


Рис. 1. Спектральные плотности скорости ветра и нагрузки на изоляторы

где ρ_a — плотность воздуха, $\text{кг}/\text{м}^3$; c_x — коэффициент лобового сопротивления, который примерно равен значению \bar{c}_x при средней скорости ветра; d — внешний диаметр шины, м.

Подставляя (1) в (5) и пренебрегая слагаемым второго порядка малости, содержащего $v^2(t)$, получим

$$q(t) = \bar{q} + \frac{2\bar{q}}{\bar{V}} v(t), \quad (6)$$

где \bar{q} — среднее значение ветровой нагрузки на шину, равное

$$\bar{q} = 0,5 \rho_a \bar{c}_x d \bar{V}^2. \quad (7)$$

Дисперсия и спектральная плотность ветровой нагрузки согласно (6) определяются по формулам

$$D_q = D_V \cdot 4\bar{q}^2 / \bar{V}^2; \quad (8a)$$

$$S_q(\omega) = S_V(\omega) \cdot 4\bar{q}^2 / \bar{V}^2. \quad (8б)$$

При расчете колебаний под действием случайной нагрузки шинную конструкцию можно, как и в [1], приближенно рассматривать в виде системы с одной степенью свободы. Если пренебречь воздействием ветра на изоляторы ошиновки, движение шинной конструкции описывается дифференциальным уравнением второго порядка

$$\frac{d^2y}{dt^2} + 2h \frac{dy}{dt} + \Omega^2 y = \frac{Q}{m}, \quad (9)$$

где y — прогиб системы, м; t — время, с; h — коэффициент затухания, с⁻¹; $\Omega = 2\pi f$ — угловая частота собственных колебаний, рад/с; Q — приведенная сила, Н; m — приведенная масса шины, кг.

Параметры расчетной одномассовой системы выбираются из условий равенства приведенной силы и результирующей ветровой нагрузки $Q = ql$; жесткости одномассовой системы и шинной конструкции $c = c_m$, а также частоты собственных колебаний системы с одной степенью свободы f и первой (основной) собственной частоты конструкции f_1 , т. е.

$$f = f_1 = (r_1^2 / 2\pi l^2) (EJ / m_m)^{1/2}, \quad (10)$$

где r_1 — параметр частоты; l — длина пролета шины, м; E — модуль упругости, Па; J — момент инерции, м⁴; m_m — погонная масса шины, кг/м. Приведенная масса расчетной системы определяется зависимостью $m = c / \Omega^2$.

Спектральные плотности «входа» и «выхода» линейной системы связаны соотношением [8, 9]

$$S_y(\omega) = \frac{S_q l^2}{m^2 [(\Omega^2 - \omega^2)^2 + 4h^2 \omega^2]}. \quad (11)$$

Дисперсия прогиба определяется по формуле

$$D_y = \int_0^{\omega_n} S_y(\omega) d\omega = \frac{4\bar{q}^2 l^2 \Omega^4}{V^2 c^2} \int_{\omega_n}^{\omega_n} \frac{S_v(\omega) d\omega}{(\Omega^2 - \omega^2)^2 + 4h^2 \omega^2}. \quad (12)$$

Верхний и нижний пределы интегрирования в (12), как и ранее, можно принять равным ω_n и ω_n . Напряжения в материале шины (Па) и нагрузки на изоляторы (Н) равны [1]

$$\sigma = ycl / \lambda W \quad \text{и} \quad R = \beta cy, \quad (13)$$

где W — момент сопротивления поперечного сечения шины, м³; λ и β — параметры, зависящие от условий закрепления шин на изоляторах пролета (таблица).

Математические ожидания прогиба, а также напряжений в материале шины и нагрузок на изоляторы находятся из решения статической задачи по формулам

$$\bar{y} = \bar{q}l / c; \quad \bar{\sigma} = \bar{q}l^2 / \lambda W; \quad \bar{R} = \beta \bar{q}l. \quad (14)$$

В соответствии с (11) и (13) спектральные плотности напряжений и нагрузок составляют

$$S_\sigma(\omega) = \left(\frac{cl}{\lambda W} \right)^2 S_y(\omega) = \frac{l^4}{(\lambda W)^2} \frac{\Omega^4 S_q(\omega)}{(\Omega^2 - \omega^2)^2 + 4h^2 \omega^2}; \quad (15a)$$

$$S_R(\omega) = \beta^2 c^2 S_y(\omega) = \frac{\beta^2 l^2 \Omega^4 S_q(\omega)}{(\Omega^2 - \omega^2)^2 + 4h^2 \omega^2}. \quad (15b)$$

На рис. 1 приведены зависимости спектральных плотностей нагрузок на изоляторы конструкции напряжением 220 кВ с разрезными шинами

Параметры шинных конструкций

Схема шинной конструкции	Пролеты	Параметр частоты r_1 , *	Коэффициент β	Параметр $l/\lambda(x)$	Наибольшее значение l/λ
	Все	3,14	1,0	$\frac{1}{2} \left \frac{x}{l} - \frac{x^2}{l^2} \right $	4/8
	Все *	3,92	1,25 **	$\left \frac{5}{8} \frac{x}{l} - \frac{1}{2} \frac{x^2}{l^2} - \frac{1}{8} \right $	4/8
	Крайний	4,73	1,13	$\left 0,394 \frac{x}{l} - 0,5 \frac{x^2}{l^2} \right $ ***	4/9,5
	Второй	4,73	1,13	$\left 0,529 \frac{x}{l} - 0,5 \frac{x^2}{l^2} - 0,106 \right $	4/9,5
	Средние	4,73	1,0	$\frac{1}{2} \left \frac{x}{l} - \frac{x^2}{l^2} - \frac{1}{6} \right $	4/12

* Для конструкций с практически абсолютно жесткими опорами.
** Для опор с заземлением. Для опор с шарнирным опиранием $\beta = 0,75$.
*** Шарнирное опирание в пролете при $x=0$.

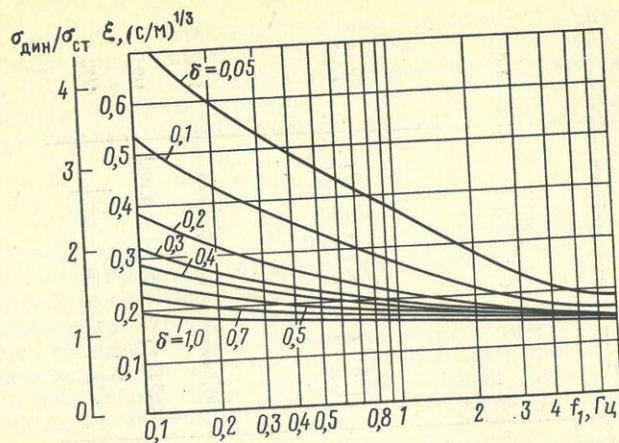


Рис. 2. Зависимости параметра ξ , а также относительных динамических прогибов (напряжений в шине, нагрузок на изоляторы) при средней скорости ветра 32 м/с от частоты собственных колебаний шинной конструкции при различных декрементах затухания

(при шарнирном опирании на изоляторы пролета). Внешний диаметр шин 130 мм, длина пролета $l=15$ м, частота собственных колебаний шинной конструкции $f=0,7$ Гц ($\Omega=4,4$ рад/с). Условия атмосферы стандартные (давление $p_n=760$ мм рт. ст., температура $\theta_n=15^\circ\text{C}$) и плотность воздуха $\rho_n=1,23$ кг/м³. Статическая скорость ветра $\bar{V}=20$ м/с. Сплошная кривая S_R на рис. 1 построена для конструкции с логарифмическим декрементом затухания $\delta=h/f=0,1$, а пунктирная — 0,8. Если затухание невелико, упругая система выполняет роль «фильтра», пропускающая главным образом пульсации с частотой, близкой к Ω . Здесь имеет место явление, похожее на резонанс вынужденных колебаний при детерминированном периодическом воздействии. Составляющая нагрузки в этой зоне несет существенную часть мощности всего процесса. По мере роста рассеяния энергии значения S_R в этой области снижаются и мощность процесса определяется главным образом низкочастотными пульсациями нагрузки.

Дисперсии напряжений и нагрузок согласно (12) и (13) равны

$$D_\sigma = (cl/\lambda W)^2 D_y; \quad D_R = \beta^2 c^2 D_y. \quad (16)$$

Вероятность превышения средних значений напряжений и нагрузок можно оценить с помощью коэффициента изменчивости, равного отношению среднего квадратичного отклонения к математическому ожиданию:

$$w = D_y^{1/2} / \bar{y} = D_\sigma^{1/2} / \bar{\sigma} = D_R^{1/2} / \bar{R} = \xi \bar{V}^{1/2}, \quad (17)$$

$$\xi = 2\Omega^2 C_1^{1/2} \frac{\chi^{1/2}}{z^{1/2} \ln(z/z_0)} \left[\int_{\omega_n}^{\omega_b} \frac{\Phi(\omega) d\omega}{(\Omega^2 - \omega^2)^2 + 4k^2 \omega^2} \right]^{1/2}. \quad (18)$$

Для принятой расчетной схемы шинной конструкции как системы с одной степенью свободы коэффициенты изменчивости напряжений в материале шины, нагрузок на изоляторы и прогибов оказываются одинаковыми. На рис. 2 приведены зависимости параметра ξ от частоты собственных колебаний жесткой ошиновки для различных значений логарифмического декремента затухания при $z_0=0,05$, удобные для практических расчетов при любых скоростях ветра, полученные на ЭВМ. Опреде-

ленный интеграл, входящий в уравнение (18), в пределах от ω_n до ω_b определялся численным методом.

При оценке стойкости шинной конструкции наибольшие расчетные напряжения и нагрузки на изоляторы удобно принять в виде суммы статической и динамической составляющих:

$$\sigma = \bar{\sigma} + \sigma_{\text{дин}} = \bar{\sigma} + \gamma_\sigma (D_\sigma)^{1/2}; \quad (19a)$$

$$R = \bar{R} + R_{\text{дин}} = \bar{R} + \gamma_R (D_R)^{1/2}. \quad (19b)$$

Статические составляющие $\bar{\sigma}$ и \bar{R} — это математические ожидания напряжений и нагрузок, а динамические $\sigma_{\text{дин}}$ и $R_{\text{дин}}$ равны произведениям стандартов случайных функций σ и R на коэффициенты γ_σ или γ_R , связанные с надежностью шин и изоляторов. Если принять, что пульсации ветровых нагрузок отвечают нормальному закону распределения, то напряжения в шинах и нагрузки на изоляторы при ветровом напоре также отвечают гауссову распределению. Тогда вероятность обнаружить напряжения или нагрузки больше математического ожидания, например на один стандарт ($\gamma=1$), равна 0,1587, на два стандарта — 0,0228, на три — 0,00135 и т. д.

Уравнения (19) с учетом (17) приводятся к виду

$$\sigma = \bar{\sigma} (1 + \gamma_\sigma w) = \bar{\sigma} (1 + \gamma_\sigma \xi \bar{V}^{1/2}); \quad (20a)$$

$$R = \bar{R} (1 + \gamma_R w) = \bar{R} (1 + \gamma_R \xi \bar{V}^{1/2}). \quad (20b)$$

Стандарты γ при расчетах на ветровую нагрузку обычно принимают равными 2 [5]. В качестве примера на рис. 2 приведены зависимости отношений $\sigma_{\text{дин}}/\bar{\sigma} = R_{\text{дин}}/\bar{R}$ при $\gamma=2$ и скорости ветра \bar{V} , равной 32 м/с.

Следует отметить, что относительные динамические составляющие прогибов, нагрузок и напряжений, равные γw (иногда называемые динамическими коэффициентами), близки к значениям, рекомендуемым в [3]. Для конструкций с относительно высокой частотой собственных колебаний, расположенных в III–IV районах по скоростному напору ветра, эти коэффициенты практически совпадают.

Условия прочности шин и изоляторов при ветровых воздействиях определяются неравенствами

$$\sigma \leq \sigma_{\text{доп}} = N_\sigma \sigma_n; \quad (21)$$

$$R \leq R_{\text{доп}} = N_R R_{\text{разр}}, \quad (22)$$

где $\sigma_{\text{доп}}$ и $R_{\text{доп}}$ — допустимые значения напряжений и нагрузок; N_σ и N_R — коэффициенты, учитывающие условия работы шинной конструкции, требуемый запас прочности, вероятность снижения предела прочности (временного сопротивления разрыву) материала шин σ_n или разрушающих нагрузок изоляторов $R_{\text{разр}}$ по сравнению с нормативными значениями.

Коэффициенты запаса целесообразно принять $N_\sigma=0,7$, $N_R=0,6$ так же, как в расчетах на электродинамическую стойкость. В этом случае для типовых шинных конструкций 110 кВ (обладающих частотой $f_1=3\div 6$ Гц и декрементом затухания $\delta=0,5\div 0,7$), расположенных в III–IV районах по скоростному напору ветра, отношения $(1 + \gamma w)/N$ оказываются близкими к 3, т. е. примерно равным коэффициентам надежности, принятым в практике проектирования этих конструкций при расчетах на статическую ветровую нагрузку.

В областях сварных швов алюминиевых сплавов наблюдается снижение прочности материала на 10–50%, поэтому для сварных шин помимо условия (21) должно выполняться неравенство [2]

$$\sigma_{\text{св}} \leq \sigma_{\text{доп.св}} = N_\sigma \sigma_{\text{н.св}}, \quad (23)$$

где $\sigma_{\text{доп.св}}$ и $\sigma_{\text{н.св}}$ — допустимое напряжение и временное сопротивление разрыву в области сварного шва [2]; $\sigma_{\text{св}}$ — расчетное напряжение в этой

области, определяемое по формуле (20а), в которой математическое ожидание напряжения в материале шины согласно (14) равно

$$\bar{\sigma} = \bar{\sigma}(x) = \bar{q}^2 / \lambda(x) W, \quad (24)$$

где x — координата сварного шва; $\lambda(x)$ — значение параметра в этой точке (таблица).

Как отмечалось выше, уравнения (19) не учитывают ветровых усилий на шинные опоры. Обычно это не вносит существенной погрешности в расчеты. Приближенно нагрузки на изоляторы с учетом воздействия ветра на вертикальные опоры, составляют

$$R_{\text{расч}} \approx R + \Delta R = (\bar{R} + \Delta \bar{R})(1 + \gamma w). \quad (25)$$

Поправка $\Delta \bar{R}$ определяется из равенства изгибающих моментов в основании изоляционной опоры от распределенной по ее длине нагрузки и сосредоточенной силы, приложенной к вершине опоры

$$\Delta R \approx \bar{q}_{\text{из}} H / 2, \quad (26)$$

где H — высота опоры (изолятора), м; $\bar{q}_{\text{из}}$ — ветровая нагрузка на опору (Н/м), примерно равная

$$\bar{q}_{\text{из}} \approx 0,5 \bar{c}_{\text{из}} \bar{c}_{\text{из}} d_{\text{из}} \bar{V}^2; \quad (27)$$

здесь $\bar{c}_{\text{из}}$ — коэффициент лобового сопротивления изолятора; $d_{\text{из}}$ — характерный размер, который приближенно можно принять равным среднему арифметическому наибольшего и наименьшего диаметров изолятора.

Экспериментальные исследования параметров опытных и серийных шинных конструкций 110–220 кВ различного исполнения показали, что основные частоты их собственных колебаний лежат в пределах $1 \leq f_1 \leq 5$ Гц, а декременты затухания — $0,08 \leq \delta \leq 0,7$; поэтому в I–IV районах по скоростному напору ветра (скорости ветра 25–32 м/с) при стандартах $\gamma = 2$ динамические составляющие прогибов напряжений в материале шин, а также нагрузок на изоляторы оказываются равными 0,75–1,7, а средние квадратичные отклонения этих параметров 0,32–0,75 от статических значений.

Коэффициенты изменчивости w , а также дисперсии и динамические составляющие напряжений и нагрузок снижаются с увеличением частоты собственных колебаний конструкции, рассеяния энергии (декремента затухания) и средней скорости ветра. Необходимо отметить, что статическую составляющую скорости \bar{V} следует принимать равной низкочастотной составляющей, оценка которой по средней скорости ветра дана в [5].

Пример. Проверить на стойкость шинную конструкцию напряжением 220 кВ, если низкочастотная составляющая скорости ветра равна 32 м/с. Внешний диаметр трубчатых шин из алюминиевого сплава АВТ1 $d = 150$ мм, толщина стенки 10 мм, момент сопротивления $W = 144 \cdot 10^{-6}$ м³, длина пролета $l = 15$ м, частота собственных колебаний шинной конструкции $f_1 = 1,1$ Гц, логарифмический декремент затухания $\delta = 0,2$. Изоляционные опоры типа ШО-220У1 имеют высоту 2150 мм и средний диаметр $d_{\text{из}}$ около 200 мм. Разрезные шины с целым (сварным) участком, равным длине пролета. Сварные швы расположены на расстоянии 3 м от опор.

Временное сопротивление разрыву шины из сплава АВТ1 $\sigma_{\text{св}} = 304$ МПа, а в зоне сварного шва, примерно на 50% меньше, т. е. $\sigma_{\text{св, шв}} = 152$ МПа. Допустимые напряжения в шине согласно (21) и (23) составляют $\sigma_{\text{доп}} = 212,8$ МПа и $\sigma_{\text{доп, шв}} = 106,4$ МПа.

Разрушающие нагрузки шинных опор с учетом точки приложения нагрузки [10] $R_{\text{разр}} = 5430$ Н. Допустимые нагрузки составляют $R_{\text{доп}} = 0,6 \cdot 5430 = 3250$ Н.

Примем условия атмосферы стандартными. Тогда плотность воздуха $\rho_{\text{в}} = 1,23$ кг/м³, а кинетическая вязкость $\nu = 14,6 \cdot 10^{-6}$ м²/с.

Числа Рейнольдса для шин и изоляторов, равны

$$\text{Re} = \bar{V} d / \nu = \frac{32 \cdot 0,15}{14,6 \cdot 10^{-6}} = 3,29 \cdot 10^5;$$

$$\text{Re}_{\text{из}} = 4,38 \cdot 10^5.$$

По нормативной кривой [3] определяем коэффициенты лобовых сопротивлений шины $c_{\text{ш}} = 0,65$ и изоляторов $c_{\text{из}} = 0,4$. По формулам (7) и (27) вычисляем средние значения ветровых нагрузок, действующих на шины и опоры

$$\bar{q} = 0,5 \cdot 1,23 \cdot 0,65 \cdot 0,15 \cdot 32^2 = 61,4 \text{ Н/м};$$

$$\bar{q}_{\text{из}} = 0,5 \cdot 1,23 \cdot 0,4 \cdot 0,2 \cdot 32^2 = 50,2 \text{ Н/м}.$$

Расчетной схемой конструкции с разрезными шинами является балка с шарнирным опиранием на упругих опорах. В соответствии с указаниями таблицы параметров шинной конструкции $\beta = 1$, $1/\lambda(x) = 1/2 [x/l - x^2/l^2]$. Минимальное значение $\lambda = 8$; в областях сварных швов при x , равных 3 и 12 м, $1/\lambda(x) = 0,08$.

Наибольшие статические напряжения в шине согласно (14) составляют

$$\bar{\sigma} = 61,4 \cdot 15^2 / 8 \cdot 144 = 12,0 \text{ МПа},$$

а в области сварных швов

$$\bar{\sigma}_{\text{шв}} = 0,08 \cdot 61,4 \cdot 15^2 / 144 = 7,7 \text{ МПа}.$$

Статические нагрузки на изоляторы в соответствии с (14) и (26) равны $\bar{R} = 1 \cdot 61,4 \cdot 15 = 927$ Н;

$$\Delta \bar{R} = 50,4 \cdot 2,15 / 2 = 54 \text{ Н}.$$

Таким образом, ветровые усилия, действующие непосредственно на опоры, вызывают нагрузки ΔR , составляющие менее 6% результирующей силы R .

По кривым (рис. 2) при $f_1 = 1,1$ Гц и $\delta = 0,2$ находим параметр $\xi = 0,21$ м/с. Коэффициент изменчивости равен

$$w = 0,21 \cdot 32^{1/2} = 0,66.$$

Расчетные наибольшие напряжения, а также напряжения в области сварных шин вычисляем при $\gamma = 2$ в соответствии с (20а)

$$\sigma = 12,0 \cdot (1 + 2 \cdot 0,66) = 12,0 \cdot 2,32 = 27,8 \text{ МПа};$$

$$\sigma_{\text{шв}} = 7,7 \cdot 2,32 = 17,9 \text{ МПа},$$

а нагрузки на изоляционные опоры — согласно (25):

$$R = (927 + 54) \cdot 2,32 = 2275 \text{ Н}.$$

Напряжения в материале шины, а также нагрузки на изоляционные опоры меньше допустимых значений. Таким образом, шинная конструкция удовлетворяет условиям (21)–(23).

Выводы. 1. Динамические составляющие прогибов напряжений в материале шин и нагрузок на изоляторы конструкций с частотой собственных колебаний больше 4–5 Гц в основном определяются «фоном» случайных колебаний, и рассеяние энергии шинной конструкции практически не влияет на наибольшие ожидаемые прогибы напряжения и нагрузки. При частоте собственных колебаний шинной конструкции меньше 4–5 Гц возрастает влияние чисто периодического процесса колебаний, амплитуда которого существенно зависит от диссипативных сил.

2. Для конструкций с жесткими шинами в ОРУ 110–220 кВ динамические составляющие прогибов напряжений и нагрузок равны 0,75–1,7 от статических значений в I–IV районах по скоростному напору ветра (при средней скорости ветра 25–32 м/с) и стандартах, равных 2. Расчетные динамические коэффициенты для жесткой ошиновки ОРУ хорошо согласуются со значениями, рекомендуемыми в СНиП для конструкций с близкими параметрами.

СПИСОК ЛИТЕРАТУРЫ

1. Кудрявцев Е. П., Долин А. П. Расчет жесткой ошиновки распределительных устройств. М.: Энергия, 1981. 96 с.
2. Долин А. П. Электродинамическая стойкость сварных шин // Пром. энергетика. 1983. № 12. С. 23–26.
3. Строительные нормы и правила СНиП 2.01.07-85. Нагрузки и воздействия. М.: ЦИТП Госстрой СССР, 1983. 36 с.
4. Холодов В. В. О некоторых основах динамического расчета ветровых воздей-

- вий на провода линий электропередачи // Ветровые и гололедные воздействия на конструкции горных ВЛ. М.: ЭНИН, 1986. С. 6—25.
5. *Шурыгин В. П.* Совершенствование методов расчета конструкций контактной сети // Тр. ВНИИТС. Вып. 81. М.: Транспорт, 1972. С. 1—75.
 6. *Чучев А. П.* Экспериментальные исследования пульсаций горизонтальной составляющей скорости ветра в приземном слое воздуха // Тр. ГГО. Вып. 333. Л.: Гидрометиздат, 1974. С. 112—119.
 7. *Монин А. С., Яглом А. М.* Статистическая гидромеханика. Ч. 2. М.: Наука, 1967. 720 с.
 8. *Розанов Ю. А.* Случайные процессы. М.: Наука, 1979. 182 с.
 9. *Бологин В. В.* Методы теории вероятностей и теории надежности в расчетах сооружений. М.: Стройиздат, 1982. 351 с.
 10. *Долин А. П.* К определению допустимых нагрузок на изоляторы и шинные опоры // Пром. энергетика. 1981. № 10. С. 37—38.

Москва

Поступила в редакцию
13.IV 1989